

AIC-Automatisation avancée, intelligence artificielle et cognitive

7. Commande multimodale

Jean-Daniel Dessimoz



HAUTE ÉCOLE
D'INGÉNIERIE ET DE GESTION
DU CANTON DE VAUD
www.heig-vd.ch



HESSO.HEIG-VD, J.-D. Dessimoz, 05.03.2017

1

AIC-Automatisation avancée, intelligence artificielle et cognitive

Contenu

- **Introduction**
- **Notion de modèle ; métrique pour le traitement d'information et pour la cognitive**
- **Choix d'une structure de commande**
- **Intelligence artificielle et « machine learning »**
- **Commande à logique floue**
- **Commande neuronale, yc. « deep learning »**
- **Commande multimodale**
- **Commande à algorithme génétique**
- **Robots mobiles autonomes**
- **Robot humanoïde NAO**
- **Conclusion**

HESSO.HEIG-VD, J.-D. Dessimoz, 15.02.2017

2

Contenu des *Exposés et exercices*

Notion de modèle ; métrique pour le traitement d'information et pour la cognitive	4p
Choix d'une structure de commande	2p
Intelligence artificielle et inférences bayésiennes	2p
Commande à logique floue	2p
Commande neuronale	2p
Commande multimodale	2p
Commande à algorithme génétique	2p
Robots mobiles autonomes et humanoïdes	4p
Réserve et contrôle continu (TE, corr.)	6p

HESSO.HEIG-VD, J.-D. Dessimoz, 05.03.2017

3

Travaux de laboratoire associés

Estimation de grandeurs cognitives (essais en simulation avec programmes d'évitement d'obstacles)	L-AIC-1
Test d'intelligence artificielle selon Turing et utilisation d'Eliza	L-AIC-2
Commande neuronale	L-AIC-3
Commande à logique floue	L-AIC-4
Commande à algorithme génétique	L-AIC-5
Commande multimodale	L-AIC-6
Robot mobile autonome	L-AIC-7
Robot humanoïde NAO	L-AIC-8
Inférences bayésiennes	L-AIC-9
Sur demande, l'étudiant peut échanger l'une des manipulations ci-dessus par un autre sujet (cf. manipulations LaRA)	

HESSO.HEIG-VD, J.-D. Dessimoz, 05.03.2017

4

AIC-Automatisation avancée, intelligence artificielle et cognitive

Contenu

- Introduction
- Notion de modèle ; métrique pour le traitement d'information et pour la cognitive
- Choix d'une structure de commande
- Intelligence artificielle et « machine learning »
- Commande à logique floue
- Commande neuronale, yc. « deep learning »
- **Commande multimodale**
- Commande à algorithme génétique
- Robots mobiles autonomes
- Robot humanoïde NAO
- Conclusion

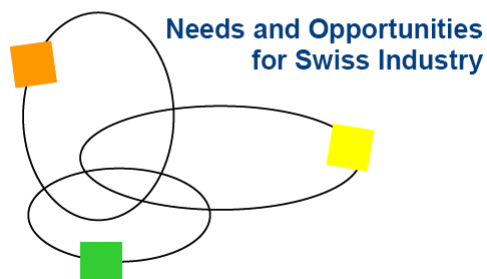
HESSO.HEIG-VD, J.-D. Dessimoz, 05.03.2017

5

Commande multimodale

IPLnet
Integrated Production and Logistics
WORKSHOP

2005



Schloss Böttstein

6th & 7th September 2005

Schlossweg 20, 5315 Böttstein, Switzerland

HESSO.HEIG-VD, J.-D. Dessimoz, 05.03.2017

6

Commande multimodale

Largement basé sur l'article suivant:

Novel Modal Control for Strongly Non-stationary Systems

J.-D. Dessimoz¹, M. Dahiya², P.-F. Gauthey¹, A. Perrenoud¹

¹University of Applied Sciences of Western Switzerland

HES-SO / HEIG-VD / IAI, Yverdon-les-Bains

²Indian Institute of Technology, Kanpur, India.

i
nstitut d'
A
utomatisation
i
ndustrielle



HESSO.HEIG-VD, J.-D. Dessimoz, 05.03.2017

7

Commande multimodale

Content

-
- 1. Introduction**
 - 2. Multimodal Controller - MMC**
 - 3. Detailed Example: inverted pendulum**
 - 4. Implementation and Tests**
 - 5. Software**
 - 6. Bidimensional Example**
 - 7. Conclusion**

HESSO.HEIG-VD, J.-D. Dessimoz, 05.03.2017

8

Commande multimodale

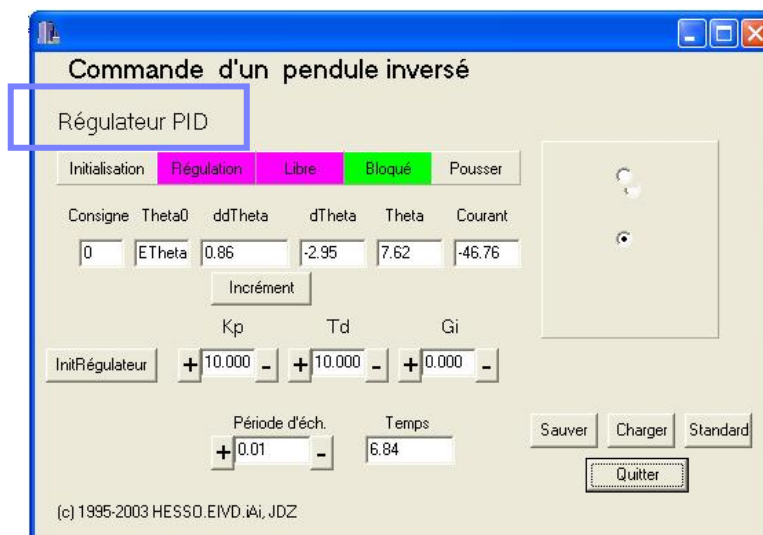
1. Introduction (1 of 2)

- **Classical control theories have been developed for many years.**
 - **Work well when systems are stationary and linear**
- **How to tackle non-stationary, non linear systems?**
- **Core idea:**
 - **divide the state space in smaller domains (local modes, as required by applications) where controllers can be individually, specifically designed by classical approach**
 - **Perform a feature-space based, dynamically changing, weighted average of all controller outputs**

HESSO.HEIG-VD, J.-D. Dessimoz, 05.03.2017

9

...PID Controller...



HESSO.HEIG-VD, J.-D. Dessimoz, 05.03.2017

10

...Fuzzy Controller...

Commande d'un pendule inversé

Régulateur flou

Initialisation Régulation Libre Bloqué Pousser

Consigne Theta0 ddTheta dTheta Theta Courant

0 ETheta 1349.03 -146.06 38.10 -9.00

Incrément

InitRégulateur +10.000 - +10.000 - +0.000 -

Kp Td Gi

Période d'éch. Temps

+0.01 - 3.87

Sauver Charger Standard

Quitter

Theta 38.09

	NM	NS	Z	PS	PM
NM	0.00	0.00	0.00	0.00	0.00
NS	0.00	0.00	0.40	0.40	0.00
Z	0.00	0.00	0.40	0.60	0.00
PS	0.00	0.00	0.00	0.00	0.00
PM	0.00	0.00	0.00	0.00	0.00

PM PS Z NS NM

(c) 1995-2005 HESSO.EIVD.iAi.JDZ, Manjeet Dahiya, Mohit Goyal

HESSO.HEIG-VD, J.-D. Dessimoz, 05.03.2017

11

...Neural Controller...

Réseau Neuronal

Commande d'un pendule inversé

Réseau Neuronal

Initialisation Régulation Libre Bloqué Pousser

Consigne ETheta0 ddTheta dTheta Theta Courant

0 ETheta 2506.44 -202.31 -26.10 7.89

Incrément

InitRégulateur TrainRn

Période d'éch. Temps

+0.01 - 17.56

Current Node Active

11

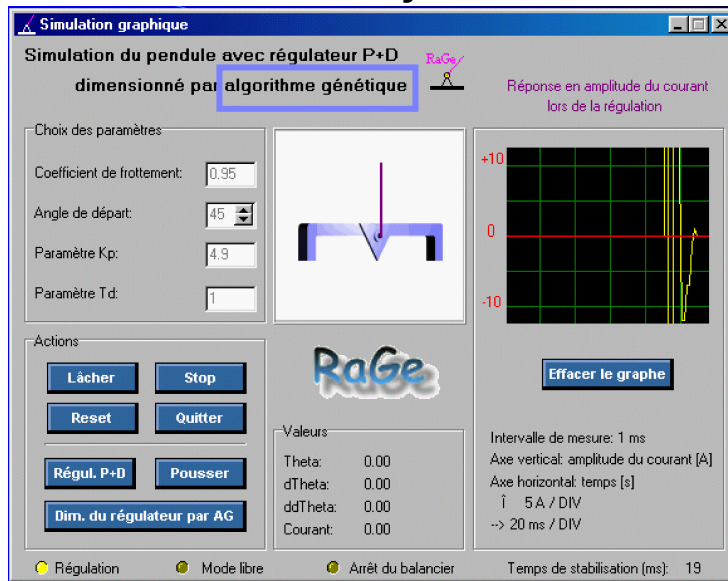
Quitter

(c) 1995-2005 HESSO.EIVD.iAi.JDZ, Manjeet Dahiya

HESSO.HEIG-VD, J.-D. Dessimoz, 05.03.2017

12

...Evolutionary Controller...



HESSO.HEIG-VD, J.-D. Dessimoz, 05.03.2017

13

Commande multimodale

1. Introduction (2 of 2)

- **Particular motivation behind this study**
 - **Printing machines at high speed (20 m/s) and high resolution (<0.02mm)**
 - **Robotized handling systems with large changes in inertia and high requirements in terms of dynamics and precision**

HESSO.HEIG-VD, J.-D. Dessimoz, 05.03.2017

14

2. Multimodal Controller (1 of 2)

- **Principle, at design time**
 - **Divide the state space into domains sufficiently homogeneous, along one or more discriminant dimensions (features)**
 - **Design classic controllers in each domain**
 - e.g. PID, Ziegler-Nichols method
 - **Define weighting functions, typically distance dependant in feature space (e.g. $w=1/(1+d)$)**

2. Multimodal Controller (2 of 2)

- **Procedure, in operation**
 - **“Simultaneously” evaluate the output commands of individual controllers in each domain**
 - **Evaluate instantaneous, local weight values, for all controllers**
 - **Average the weighted contributions from all controllers**

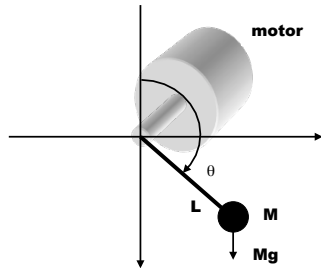
Mathematically:

$$U_m(t) = \frac{\sum_{n=1}^N w_n(t) \cdot U_n(t)}{\sum_{n=1}^N w_n(t)} = \frac{\sum_{n=1}^N w_n(v(t)) \cdot U_n(t)}{\sum_{n=1}^N w_n(v(t))}$$

Commande multimodale

3. Example of MMC (1 of 3)

Control of an inverted pendulum



$$J\ddot{\theta} = C_m + MgL \sin \theta$$

$$C_m = kI_m \quad \text{Driving torque}$$

$$J = ML^2 \quad \text{Inertia of load}$$

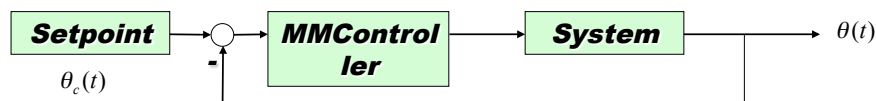
HESSO.HEIG-VD, J.-D. Dessimoz, 05.03.2017

17

Commande multimodale

3. Example of MMC (2 of 3)

Main components of the specific MMC



Error signal: $\varepsilon(t) = \theta_c(t) - \theta(t)$

-180°..180° : domain broken into 5 regions

Output of one elementary controller (e.g. PID with a priori term):

$$I_n(t) = K_{pn} \cdot \varepsilon(t) + G_{in} \int \varepsilon(t) + T_{dn} \frac{d\varepsilon(t)}{dt} + A_n$$

Weighted average of all controller outputs:

$$I_m(t) = \frac{\sum_{n=1}^N w_n(\theta) \cdot I_n(t)}{\sum_{n=1}^N w_n(\theta)}$$

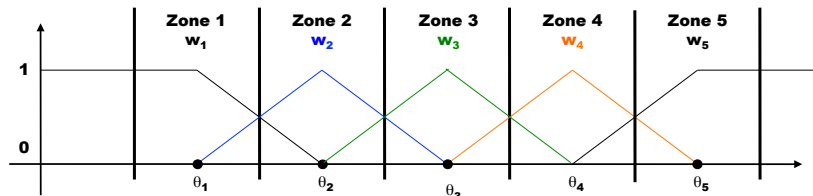
HESSO.HEIG-VD, J.-D. Dessimoz, 05.03.2017

18

Commande multimodale

3. Example of MMC (3 of 3)

Computation of weights (ex. linear, 1-dimensional)



$$\text{For } \theta_n \leq \theta \leq \theta_{n+1} \quad \begin{cases} w_n = \frac{\theta_{n+1} - \theta}{\theta_{n+1} - \theta_n} \\ w_{n+1} = 1 - w_n \end{cases}$$

$$\text{For } \theta \leq \theta_1 \quad w_1 = 1$$

$$\text{For } \theta_N \leq \theta \quad w_N = 1$$

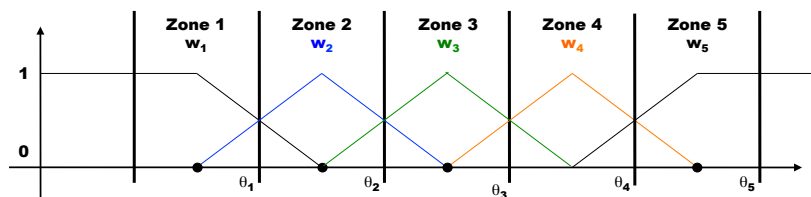
θ_1	-135°
θ_2	-30°
θ_3	0°
θ_4	30°
θ_5	135°

HESSO.HEIG-VD, J.-D. Dessimoz, 05.03.2017

19

Commande multimodale

3b. Remarque



Il n'est pas nécessaire que la somme des poids vale 1 partout immédiatement. Si ce n'est pas le cas, on peut très simplement obtenir un nouveau jeu, normalisé, en divisant les premiers par la somme en chaque point.

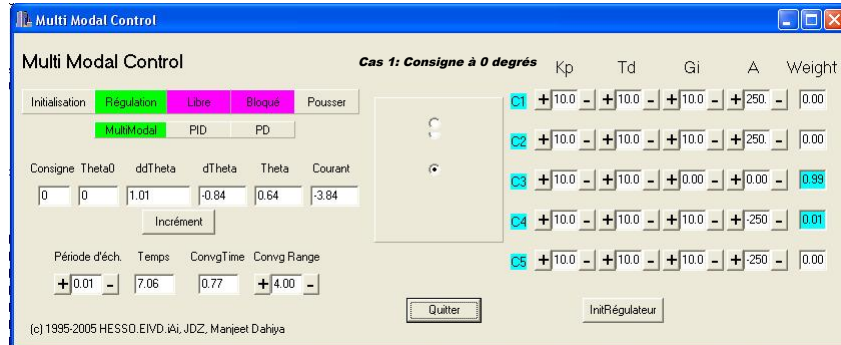
HESSO.HEIG-VD, J.-D. Dessimoz, 05.03.2017

20

Commande multimodale

4. Implementation and tests (1 of 3)

Graphical interface, C++ implementation



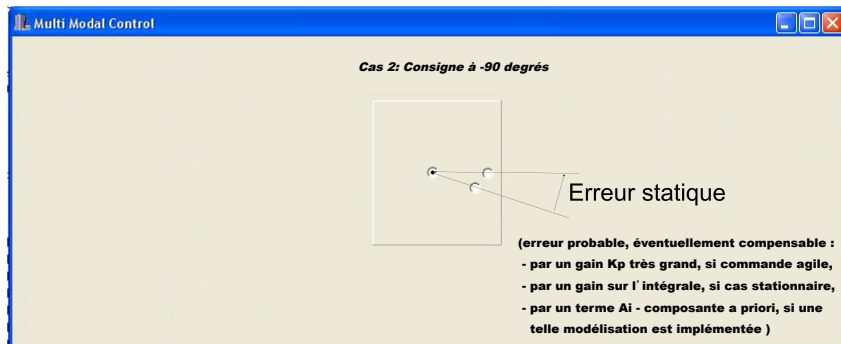
HESSO.HEIG-VD, J.-D. Dessimoz, 05.03.2017

21

Commande multimodale

4. Implementation and tests (1 of 3)

Graphical interface, C++ implementation



HESSO.HEIG-VD, J.-D. Dessimoz, 05.03.2017

22

Commande multimodale

4. Implementation and tests (2 of 3)

Benchmark with PD controllers

Residual error (asymptotic value)		
Set point	PD	Multi - PD
-90°	30.4°	9.8°
-30°	30.2°	<2°
0°	<2°	<2°
30	30.8°	<2°
45°	34.7°	<2°
80°	32.6°	10.3°
90°	30.4°	9.8°
135°	16.7°	<2°

Commande multimodale

4. Implementation and tests (3 of 3)

Benchmark with PID controllers

Convergence Times in seconds		
Set point	PID	Multi - PID
-90°	217	7.7
-30°	112	8.5
0°	18	1.6
30	98	6.4
45°	133	5.2
80°	196	4.1
90°	207	3.9
135°	182	0.1

Commande multimodale

5. Logiciel (1 de 3)

Extraits de code – Simulation d'un balancier

```
void UpdateBalancier(/*float Courant,  
    float &Theta, float &dTheta, float &ddTheta*/)  
{  
    ddTheta=360/Lm*g*sin(Theta/180*pi)+300*Courant;  
    dTheta=0.97*dTheta+ddTheta*dt;  
    Theta=Theta+dTheta*dt;  
    t=t+dt;  
    return;  
}
```

HESSO.HEIG-VD, J.-D. Dessimoz, 05.03.2017

25

Commande multimodale

5. Logiciel (2 de 3)

Extraits de code – Régulateur PID avec composante a priori

```
float Controller1() // Calculer Courant  
{  
    ConsigneTheta=StrToFloat(Form1->EConsigne->Text);  
    Ecart1=ConsigneTheta-Theta;  
  
    Integrale1=Integrale1+Ecart1*dt;  
    Courant1=Kp1*Ecart1+Td1*(Ecart1-  
        OldEcart1)/dt+Gi1*Integrale1+A1;  
  
    OldEcart1=Ecart1;  
  
    return Courant1;  
}
```

HESSO.HEIG-VD, J.-D. Dessimoz, 05.03.2017

26

Commande multimodale

5. Logiciel (3 de 3)

Extraits de code – Moyenne pondérée des régulateurs

```
{W1=weight1(Theta);
W2=weight2(Theta);
W3=weight3(Theta);
W4=weight4(Theta);
W5=weight5(Theta);
weightTemp = W1+W2+W3+W4+W5;

if (weightTemp==0)
Courant= 0;

else
Courant=
(W1*(Controller1()))+
W2*(Controller2()))+
W3*(Controller3()))+
W4*(Controller4()))+
W5*(Controller5()))/(weightTemp) ;
}
```

HESSO.HEIG-VD, J.-D. Dessimoz, 05.03.2017

27

Commande multimodale

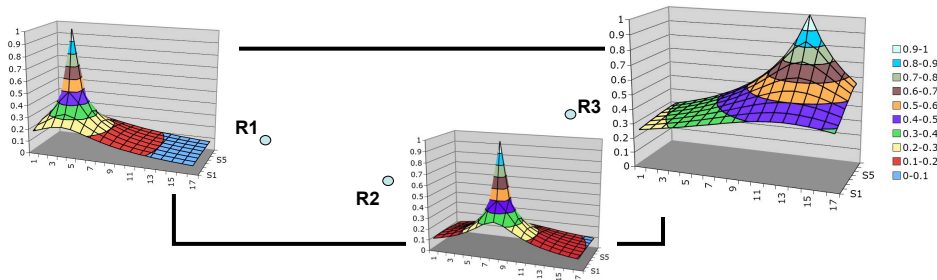
6. Exemple bidimensionnel

- Amélioration de performances par régulateurs multiples
- Extrapolation de chaque régulateur R_i avec une surface de pondération en « cloche » (exemples: gaussiennes, ou ci-dessous fonctions de distances inverses W_i pour 3 régulateurs et un domaine 2-D, càd. à deux paramètres)
- Avec normalisation en tous points avec une division par la somme des poids des régulateurs en ces points

$$w_i = \frac{1}{k_i \cdot (1 + d_i)}$$

$$d_i(x,y) = \sqrt{(x - R_{ix})^2 + (y - R_{iy})^2}$$

$$w_i' = \frac{w_i}{w_1 + w_2 + w_3}$$



HESSO.HEIG-VD, J.-D. Dessimoz, 05.03.2017

28

7. Conclusion (1 of 2)

- **Very well adapted for digital control**
- **Some light similarities with fuzzy controllers (weighting functions and membership functions, multiple components)**
- **Much more sophistication however in terms of working points (modes), elementary controller, feature space and weights (re. distances)**

7. Conclusion (2 of 2)

- **Fit to application specifications**
- **The test implementation proves that MMC can deliver much better performance figures than (single) classical controllers**
- **Addresses Swiss needs and opportunities: moderate increase of complexity (e.g. order of 10x computation load) for best possible results (leading quality)**